

## О гауссовой кривизне замкнутых поверхностей в $E^3$ и $E^4$

Ю.А. Аминов, В.А. Горькавый

*Физико-технический институт низких температур им. Б.И. Веркина НАН Украины  
Пр. Ленина, 47, г. Харьков, 61164, Украина*

E-mail: aminov@ilt.kharkov.ua

Статья поступила в редакцию 30 августа 2000 года

Вводится новый класс замкнутых поверхностей в  $E^3$  произвольного рода, которые названы  $p$ -симметронами. С их помощью строятся замкнутые регулярные поверхности в  $E^4$ . Компьютерными методами исследуется поведение гауссовой кривизны построенных поверхностей. Рассматривается задача построения замкнутой поверхности рода 2 с отрицательной гауссовой кривизной в  $E^4$ , имеющей регулярную проекцию на  $E^3$ .

### Введение

Настоящая работа посвящена исследованию следующей задачи: построить замкнутую регулярную ориентированную поверхность  $F^2$  рода  $g \geq 2$  с отрицательной гауссовой кривизной в  $E^4$ .

Ранее этот вопрос рассматривался в работах Оцуки [1] и Розендорна [2, 3]. Их методы, очень искусные и сложные, позволили построить отдельные примеры замкнутых двумерных поверхностей рода 7 с отрицательной гауссовой кривизной в  $E^4$ . (В работе [2] отмечается, что метод Оцуки приводит лишь к поверхностям, на которых все же есть точки с  $K = 0$ .) По нашему же мнению, такие поверхности было бы естественно искать также в классе алгебраических поверхностей, гомеоморфных сфере с меньшим, чем 7, числом ручек. Кроме того, по нашему мнению, должны существовать не только отдельные примеры, но и целые классы таких поверхностей, поэтому разумной и интересной выглядит задача разработки общих "технологий" их построения.

Предлагаемый нами метод основан на рассмотрении замкнутых поверхностей  $F^2 \subset E^4$ , регулярно проектирующихся в замкнутые алгебраические

поверхности  $\tilde{F}^2 \subset E^3$ , и на применении формулы для тензора кривизны неявно заданного подмногообразия в евклидовом пространстве, которая получена в [4].

Поверхности  $\tilde{F}^2$  в  $E^3$  задаем неявно алгебраическими полиномами малых степеней. Вводится новый класс двумерных замкнутых поверхностей в  $E^3$  произвольного рода, которые называем *симметронами*. Одновременно с поставленной выше задачей средствами программного пакета *Maple V* проводится "качественный" анализ геометрических характеристик симметронов, таких как гауссова кривизна, параболические линии и т.д. Применение аналитических методов здесь весьма затруднительно ввиду объемности вычислений, тогда как использование *Maple V* и его графических возможностей позволяет сделать анализ ясным и наглядным.

Далее, задавая в пространстве  $E^3$  некоторую функцию  $b$  и рассматривая ее сужение на поверхность  $\tilde{F}^2$ , определяем поверхность  $F^2 \subset E^4$ : она проектируется в поверхность  $\tilde{F}^2 \subset E^3$ , при этом функция  $b$  играет роль четвертой координаты точки поверхности  $F^2$  в  $E^4$ . Так построенная  $F^2$  будет замкнутой, ориентированной, регулярной поверхностью того же рода, что и  $\tilde{F}^2$ , и будет иметь нулевой инвариант Уитни. С помощью *Maple V* мы исследуем некоторые геометрические свойства  $F^2$ . В первую очередь, внимание уделено изучению поведения гауссовой кривизны поверхности  $F^2$  при изменении функции  $b$ .

Как было отмечено, наш подход основывается на полученной в [4] формуле для тензора кривизны неявно заданного подмногообразия в евклидовом пространстве, а именно — на формуле для гауссовой кривизны  $K$  неявно заданной поверхности  $F^2 \subset E^4$ : эта формула эффективна и удобна как раз в применении для компьютерных вычислений. Изменяя функцию  $b$  и деформируя таким образом поверхность  $F^2$ , мы качественно оцениваем поведение областей  $\tilde{F}^2$ , в которые проектируются области на  $F^2$  с  $K \geq 0$ . Основной целью является уменьшение таких областей вплоть до их полного исчезновения. По нашему мнению, замкнутые поверхности отрицательной кривизны  $F^2 \subset E^4$  не являются чем-то исключительным, изолированным, поэтому за "компьютерным" решением с большой долей вероятности следовало бы ожидать и теоретического обоснования полученных результатов (описания соответствующих поверхностей).

В результате многочисленных экспериментов за счет подбора  $b$  удалось добиться значительного уменьшения областей с положительной кривизной. Отдельные наглядные результаты отражены на приведенных рисунках.

Графический анализ полученных результатов заставляет формулировать следующие задачи.

**Вопрос 1.** *Существует ли замкнутая регулярная поверхность  $F^2$  в  $E^4$  с гауссовой кривизной  $K < 0$ , которую можно было бы взаимоднозначно*

спроектировать на регулярную поверхность  $\tilde{F}^2$  в некоторой гиперплоскости  $E^3 \subset E^4$ ?

Заметим, что для каждой регулярной замкнутой поверхности  $\tilde{F}^2$  в  $E^3$  выполнено

$$\int_{\tilde{K}>0} \tilde{K} dS \geq 4\pi,$$

где интегрирование проводится по области положительной кривизны на поверхности. Поверхности, для которых достигается равенство, были рассмотрены А.Д. Александровым — это так называемые поверхности типа Т. Из приведенного неравенства следует, что каждая метрика, для которой интеграл, стоящий в левой части, меньше  $4\pi$ , не допускает изометрического погружения в  $E^3$ .

**Вопрос 2.** *Какая двумерная геометрия возможна в  $E^4$  над замкнутой регулярной поверхностью в  $E^3$ ?*

К этим задачам мы, возможно, обратимся в следующих статьях.

## 1. Построение поверхности в $E^3$

Построим алгебраическую поверхность топологического типа сферы с  $p$  ручками. Пусть в  $E^3$  введены декартовы координаты  $x, y, z$ . Рассмотрим  $p$  непересекающихся и не лежащих одна внутри другой замкнутых кривых  $\gamma_i$  в плоскости координат  $x, y$ . Будем предполагать, что каждая  $\gamma_i$  задана уравнением  $f_i(x, y) = 0$ , причем так, что внутри ограниченной этой кривой области  $D_i$  выполняется  $f_i(x, y) < 0$ . Далее, возьмем в плоскости координат  $x, y$  замкнутую кривую  $\gamma$  так, чтобы все кривые  $\gamma_i$  лежали внутри области  $D$ , ограниченной  $\gamma$ . При этом будем считать, что  $\gamma$  задана уравнением  $f(x, y) = 0$ , а в области  $D$  выполнено  $f(x, y) < 0$ .

Рассмотрим, наконец, поверхность  $\tilde{F}^2 \subset E^3$ , заданную уравнением

$$a(x, y, z) = z^2 + \varepsilon^2 f(x, y) \prod_{i=1}^p f_i(x, y) = 0. \quad (0)$$

Вследствие выбора  $f_i$  и  $f$ , вне области  $D$  и внутри каждой области  $D_i$  произведение  $f(x, y) \prod_{i=1}^p f_i(x, y)$  будет положительным, тогда как в  $(p+1)$ -связной области  $\Omega = D - \cup_{i=1}^p D_i$  оно отрицательно. Поэтому поверхность  $\tilde{F}^2 \subset E^3$  определена в точности над замыканием области  $\Omega$ , причем она будет симметрична относительно плоскости  $x, y$ , пересекая ее именно по кривым  $\gamma_i$  и  $\gamma$ . Легко видеть, что таким образом построенная  $\tilde{F}^2 \subset E^3$  — замкнутая, ориентированная, гомеоморфная сфере с  $p$  ручками поверхность.

Внешняя форма поверхности может быть достаточно сложной или простой в зависимости от конфигурации кривых  $\gamma_i$ . При  $p \geq 2$  одной из наиболее простых конфигураций является набор  $p$  окружностей одинакового радиуса  $r$ , центры которых лежат в вершинах правильного  $p$ -угольника, а кривая  $\gamma$  — это окружность радиуса  $R$ , центр которой совпадает с центром  $p$ -угольника. Пусть центр лежит в точке  $O(0, 0)$ , а вершины  $p$ -угольника — в точках с координатами  $x_i = \cos(\frac{2\pi i}{p})$ ,  $y_i = \sin(\frac{2\pi i}{p})$ . Тогда  $f_i = (x - x_i)^2 + (y - y_i)^2 - r^2$  и  $f = x^2 + y^2 - R^2$ . Соответствующая поверхность  $\tilde{F}^2 \subset E^3$ , которая задается неявно уравнением

$$a(x, y, z) = z^2 + \varepsilon^2 \left\{ (x^2 + y^2 - R^2) \prod_{i=1}^p ((x - x_i)^2 + (y - y_i)^2 - r^2) \right\} = 0, \quad (1)$$

не только симметрична относительно плоскости  $x, y$ , но и обладает всеми симметриями правильного  $p$ -угольника. Мы будем называть эту регулярную алгебраическую поверхность  $p$ -симметроном. Положительные величины  $r, R$  и  $\varepsilon$  играют роль параметров семейства  $p$ -симметронов; очевидно, что  $r$  и  $R$  должны удовлетворять условиям  $r < \sin(\frac{\pi}{p})$  и  $R > r + 1$ .

Класс симметронов естественно дополняется следующими понятиями: под  $0$ -симметронами будем понимать гомеоморфные сфере поверхности вращения  $z^2 + \varepsilon^2(x^2 + y^2 - R^2) = 0$ , среди которых находится и сама сфера  $z^2 + (x^2 + y^2 - R^2) = 0$ , а под  $1$ -симметронами — гомеоморфные тору поверхности  $z^2 + \varepsilon^2(x^2 + y^2 - R^2)(x^2 + y^2 - r^2) = 0$ , где  $r < R$ .

Обычный круговой тор вращения в  $E^3$  задается неявно в виде

$$z^2 + (\sqrt{x^2 + y^2} - R)(\sqrt{x^2 + y^2} - r) = 0;$$

чтобы включить его в класс симметронов, мы сделаем следующее обобщение данного выше определения.

Будем называть  $p$ -симметроном замкнутую поверхность, задаваемую неявно уравнением вида

$$a(x, y, z) = z^2 + \varepsilon^2 \left\{ \Theta(x, y) \prod_{i=1}^p \Theta_i(x, y) \right\} = 0, \quad (1^*)$$

где  $\Theta(x, y)$  равняется  $x^2 + y^2 - R^2$  либо  $\sqrt{x^2 + y^2} - R$ , а  $\Theta_i(x, y)$  равняется  $(x - x_i)^2 + (y - y_i)^2 - r^2$  либо  $\sqrt{(x - x_i)^2 + (y - y_i)^2} - r$ .

Заметим, что если  $\Theta_i(x, y)$  равняется  $\sqrt{x^2 + y^2} - R$ , то при  $p \geq 2$  поверхность, заданная уравнением вида  $(1^*)$ , имеет особенность в точке  $x = 0, y = 0$ , во всех остальных случаях поверхность будет всюду регулярна.

Некоторые из  $p$ -симметронов изображены на рис. 1–2.

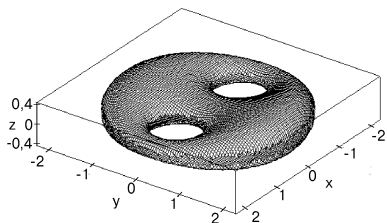


Рис. 1. Поверхность "2-симметрон"  $\tilde{F} \subset E^3$ , заданная неявно уравнением

$$z^2 + \frac{1}{16}(x^2 + y^2 - 4)\left(\sqrt{(x-1)^2 + y^2} - \frac{1}{2}\right)\left(\sqrt{(x+1)^2 + y^2} - \frac{1}{2}\right) = 0.$$

Достаточно простой вид уравнения (1\*) хорошо подходит для "компьютерного" анализа некоторых геометрических характеристик  $p$ -симметронов. В связи со сформулированной во Введении задачей, наибольший интерес для нас представляет вычисление знака гауссовой кривизны  $\tilde{K}$ , параболических линий (где  $\tilde{K} = 0$ ) и областей знакопостоянства гауссовой кривизны  $p$ -симметронов. Для этого воспользуемся удобной формулой Неймана для гауссовой кривизны неявно заданной поверхности в  $E^3$  (см., например, [5]):

$$\tilde{K} = -\frac{\begin{vmatrix} \partial_{xx}a & \partial_{xy}a & \partial_{xz}a & \partial_xa \\ \partial_{yx}a & \partial_{yy}a & \partial_{yz}a & \partial_ya \\ \partial_{zx}a & \partial_{zy}a & \partial_{zz}a & \partial_z a \\ \partial_xa & \partial_ya & \partial_z a & 0 \end{vmatrix}}{(\partial_xa^2 + \partial_ya^2 + \partial_z a^2)^2}.$$

Эта формула удобна тем, что она не требует знания какой-либо внутренней параметризации поверхности, которая в нашем случае неизбежно была бы локальной, и может применяться "в целом". Кроме того, она включает элементарные алгебраические и дифференциальные операции, поэтому ее не сложно реализовать, например, средствами *Maple V*.

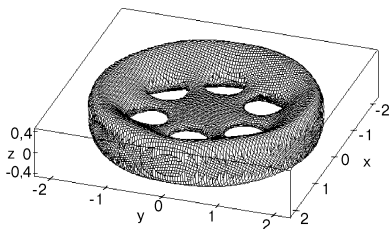


Рис. 2. Поверхность "6-симметрон"  $\tilde{F} \subset E^3$ , заданная неявно уравнением

$$z^2 + \frac{1}{36}(x^2 + y^2 - 4) \prod_{i=1}^6 \left( \sqrt{(x - \cos(\frac{\pi i}{3}))^2 + (y - \sin(\frac{\pi i}{3}))^2} - \frac{1}{3} \right) = 0.$$

Даже в случае в  $p$ -симметронов аналитическое выражение для  $\tilde{K}$  остается сложным. Но не трудно понять, что знак  $\tilde{K}$  и форма параболических линий зависят от параметров  $r$ ,  $R$ , тогда как  $\varepsilon$  является масштабирующим параметром, с помощью которого можно влиять на величину абсолютного значения и скорость изменения  $\tilde{K}$ . Средствами *Maple V* мы проводим качественный (графический) анализ параболических линий и областей знакопостоянства  $\tilde{K}$ : на рис. 3 показаны область  $\Omega$  на плоскости  $x, y$ , в которую проектируется 2-симметрон, и проекции параболических линий 2-симметрона. Ввиду симметричности, обе параболические линии 2-симметрона проектируются в одну и ту же линию в  $\Omega$ , имеющую вид восьмерки. Знаками "+" и "-" отмечены проекции областей 2-симметрона, на которых гауссова кривизна  $\tilde{K}$  соответственно положительна и отрицательна.

Количественная оценка областей знакопостоянства может быть проведена различными методами. Один из наиболее естественных способов — нахождение численными методами отношения  $\delta_S$  площадей  $S_+$  и  $S_-$  областей положительной и отрицательной кривизны  $\tilde{K}$  к общей площади  $S$   $p$ -симметрона.

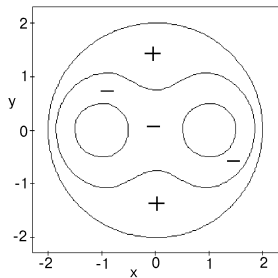


Рис. 3. Проекция 2-симметрона  $\tilde{F}^2 \subset E^3$ , заданного неявно уравнением

$$z^2 + \frac{1}{16}(x^2 + y^2 - 4)(\sqrt{(x-1)^2 + y^2} - \frac{1}{2})(\sqrt{(x+1)^2 + y^2} - \frac{1}{2}) = 0,$$

на плоскость  $xy$ .

Иным методом оценки является вычисление абсолютного значения  $\delta_K$  отношения полных (интегральных) положительной и отрицательной кривизны  $\tilde{K}_+^{total}$  и  $\tilde{K}_-^{total}$  к полной кривизне  $p$ -симметрона, равной  $2\pi(1-p)$  вследствие теоремы Гаусса–Бонне.

Безусловно, можно рассматривать и другие замкнутые поверхности, порождаемые иными конфигурациями замкнутых кривых на плоскости  $x, y$ . Например, можно брать пару лемнискат Бернулли с  $p$  фокусами [8], расположенными в вершинах правильного  $p$ -угольника. При этом параметры лемнискат следует выбирать так, чтобы одна из них, внутренняя, распадалась на  $p$  компонент связности, а вторая, внешняя, имела ровно одну компоненту. Замкнутая, ориентированная поверхность  $\tilde{F}^2 \subset E^3$ , заданная уравнением вида (0) соответственно такой конфигурации, будет гомеоморфна сфере с  $p$  ручками; она будет симметричной относительно плоскости  $x, y$  и будет иметь все симметрии  $p$ -угольника, как и в рассмотренном выше случае, но задающее ее уравнение будет несколько сложнее, чем в случае  $p$ -симметронов.

## 2. Построение поверхности в $E^4$

Пусть  $x, y, z, w$  — декартовы координаты в  $E^4$ , и гиперплоскость  $E^3$  задана уравнением  $w = 0$ . На поверхности  $\tilde{F}^2 \subset E^3$ , заданной уравнением  $a(x, y, z) = 0$ , рассмотрим функцию  $b(x, y, z)$ . Набор уравнений

$$\begin{aligned} a(x, y, z) &= 0, \\ w - b(x, y, z) &= 0 \end{aligned}$$

определяет некоторую поверхность  $F^2 \subset E^4$ . При ортогональной проекции  $E^4 \rightarrow E^3$  эта поверхность проектируется в точности на  $\tilde{F}^2 \subset E^3$ , при этом ясно, что она сохраняет топологические свойства  $\tilde{F}^2$ . В частности, если  $\tilde{F}^2$  является ориентированной, замкнутой поверхностью, гомеоморфной сфере с  $p$  ручками, то такой же будет и  $F^2$ .

Мы можем рассматривать  $F^2 \subset E^4$  как график ограничения функции  $w = b(x, y, z)$  с  $E^3$  на  $\tilde{F}^2$ . С другой стороны, можно рассматривать  $F^2 \subset E^4$  и как некоторую "деформацию" поверхности  $\tilde{F}^2 \subset E^3$ : зафиксировав  $\tilde{F}^2$  (т.е. зафиксировав  $a$ ) и изменяя функцию  $b$ , получаем определенную деформацию исходной поверхности  $\tilde{F}^2 \subset E^3$ , выводящую ее в  $E^4$ .

Основной вопрос: *можно ли подобрать функции  $a, b$  так, чтобы гауссова кривизна  $K$  поверхности  $F^2 \subset E^4$  была всюду отрицательна?*

Решение хотелось бы получить в наиболее простом виде из возможных. Поэтому в качестве начальной поверхности берем  $p$ -симметрон  $\tilde{F}^2 \subset E^3$ , т.е. фиксируем функцию  $a$  вида (1\*). Далее с помощью  $b$  деформируем исходный  $p$ -симметрон, пытаясь положительно решить поставленный вопрос.

Для вычисления гауссовой кривизны  $K$  удобно использовать формулу, установленную в работе [4]. В дальнейшем применим обозначения  $x_1 = x$ ,  $x_2 = y$ ,  $x_3 = z$ ,  $x_4 = w$ ; также первые и вторые производные функций  $a$  и  $b$  условимся обозначать следующим образом:  $\partial_{x_i} a = a_i$ ,  $\partial_{x_i x_j}^2 a = a_{ij}$  и т.д. Введем в рассмотрение симметрическую матрицу

$$T = \begin{pmatrix} T_{2323} & T_{3123} & T_{2132} \\ T_{3123} & T_{1313} & T_{1231} \\ T_{2132} & T_{1231} & T_{1212} \end{pmatrix},$$

где

$$T_{ijkl} = a_{ik}b_{jl} + a_{jl}b_{ik} - a_{il}b_{jk} - a_{jk}b_{il}.$$

Тогда гауссова кривизна  $K$  метрики поверхности  $F^2 \subset E^4$  вычисляется по следующей формуле [4]:



$$\begin{aligned}
 K = \frac{1}{|q|^4} \cdot \left\{ - \begin{vmatrix} a_{11} & a_{12} & a_{13} & a_1 \\ a_{21} & a_{22} & a_{23} & a_2 \\ a_{31} & a_{32} & a_{33} & a_3 \\ a_1 & a_2 & a_3 & 0 \end{vmatrix} \cdot (1 + b_1^2 + b_2^2 + b_3^2) \right. \\
 - (a_1, a_2, a_3) T \begin{pmatrix} a_1 \\ a_2 \\ a_3 \end{pmatrix} \cdot (a_1 b_1 + a_2 b_2 + a_3 b_3) \\
 \left. - \begin{vmatrix} b_{11} & b_{12} & b_{13} & a_1 \\ b_{21} & b_{22} & b_{23} & a_2 \\ b_{31} & b_{32} & b_{33} & a_3 \\ a_1 & a_2 & a_3 & 0 \end{vmatrix} \cdot (a_1^2 + a_2^2 + a_3^2) \right\}, \quad (2)
 \end{aligned}$$

здесь

$$|q|^4 = (|\nabla a|^2 + |[\nabla a, \nabla b]|^2)^2.$$

Эта формула хорошо приспособлена для компьютерных вычислений. С ее помощью средствами *Maple V* проводим качественный анализ влияния функции  $b$  на знак гауссовой кривизны  $K$ : а именно, на области  $\Omega$  плоскости  $x, y$ , в которую проектируется деформированный  $p$ -симметрон  $F^2 \subset E^4$ , изучаем динамику проекций параболических линий и проекций областей знакопостоянства гауссовой кривизны поверхности  $F^2$ .

Подбор функции  $b$  с целью уменьшения и полного уничтожения областей (проекций областей) положительной гауссовой кривизны  $K$  на  $F^2$  проводится не совсем произвольно. Дело в том, что связь между кривизнами  $\tilde{K}$  и  $K$  начального и деформированного  $p$ -симметронов выражается еще и следующей формулой:

$$K = \tilde{K} \frac{\nabla_1 b}{1 + \nabla_1 b} + \frac{\nabla_{22} b}{(1 + \nabla_1 b)^2}, \quad (3)$$

где  $\nabla_1 b$  — первый дифференциальный параметр Бельтрами,  $\nabla_{22} b$  — оператор Монжа–Ампера на  $\tilde{F}^2$  [6, 7]. (Отметим, что сопоставление формул (2) и (3) дает выражение для  $\nabla_{22} b$  через производные функций  $a$  и  $b$  по пространственным переменным.)

Формула (3) предполагает знание функции  $b$  как функции внутренних координат на  $\tilde{F}^2$  и знание метрики  $\tilde{F}^2$ , что осложняет ее использование для компьютерного анализа. Кроме того, вообще говоря, невозможно дать единое аналитическое выражение функции  $b$  в терминах внутренних координат.

Однако из формулы (3) уже можно сделать некоторые предварительные предположения о классе функции  $b$ , среди которых следует искать решение поставленной задачи. В частности, точки экстремума функции  $b$  не могут располагаться произвольно. А именно, если в области положительной гауссовой кривизны  $\tilde{K}$  есть точки экстремума эллиптического типа, т.е.

$\nabla_1 b = 0, \nabla_{22} b > 0$ , то вследствие (3) в этих точках экстремума будет  $K > 0$ . Поэтому, если хотим избавиться от областей положительной кривизны, то эллиптические точки экстремума выбираемой функции  $b$  должны располагаться в области, где  $\tilde{K} < 0$ , причем их эллиптичность должна быть достаточно малой, чтобы кривизна  $K$  оставалась отрицательной. В то же время в области положительной кривизны  $\tilde{K}$  должны располагаться седловые точки экстремума функции  $b$ , где  $\nabla_1 b = 0, \nabla_{22} b < 0$ ; с их помощью, принимая во внимание (3), можно попытаться компенсировать положительную  $\tilde{K}$  и сделать  $K$  отрицательной.

В качестве функции с отмеченными свойствами выбиралось  $b = \lambda \cdot xyz$ , где  $\lambda$  — числовой параметр. Эта функция меняет знак на пересечении поверхности с координатными гиперплоскостями. На рис. 4 показаны линии уровня и точки экстремума функции  $\lambda \cdot xyz$  на 2-симметроне  $\tilde{F}^2$ , спроектированные на область  $\Omega$  в плоскости  $x, y$ : проекции девяти седловых точек обозначены символом  $\circ$ , а четыре проекции восьми эллиптических точек (располагающихся симметрично относительно плоскости  $x, y$ ) — символом  $\bullet$ .

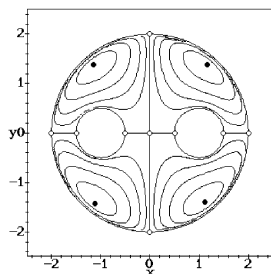


Рис. 4. Линии уровня функции  $b = xyz$  на 2-симметроне  $\tilde{F}^2 \subset E^3$ , заданном неявно уравнением

$$z^2 + \frac{1}{16}(x^2 + y^2 - 4)(\sqrt{(x-1)^2 + y^2} - \frac{1}{2})(\sqrt{(x+1)^2 + y^2} - \frac{1}{2}) = 0,$$

спроектированные на плоскость  $x, y$ .

Используя формулу (2) и применяя аналитические и графические возможности *Maple V*, вычисляем гауссову кривизну  $K$  при  $b = \lambda \cdot xyz$  и качественно анализируем области знакопостоянства  $K$ . На рис. 5, как пример, изображена область  $\Omega$  в плоскости  $x, y$  и проекции на  $\Omega$  параболических линий деформированного  $p$ -симметрона. Знаками "+" и "-" обозначены проекции областей, где  $K$  положительна и отрицательна. При изменении параметров  $\lambda, \varepsilon, r$  и  $R$  форма проекций параболических линий и областей знакопостоянства гауссовой кривизны тоже изменяется, однако полностью избавиться от областей, где  $K > 0$ , все же не удается. Тем не менее отметим, что положительная кривизна убрана с большей части области, соответствующей выпуклой части поверхности  $\tilde{F}^2$ .

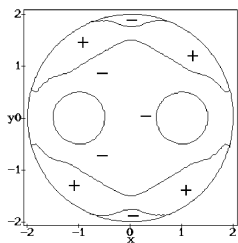


Рис. 5. "Деформированный" 2-симметрон  $F^2 \subset E^4$ , заданный неявно уравнениями

$$z^2 + \frac{1}{16}(x^2 + y^2 - 4)(\sqrt{(x-1)^2 + y^2} - \frac{1}{2})(\sqrt{(x+1)^2 + y^2} - \frac{1}{2}) = 0,$$

$$w - 1000xyz = 0,$$

проектируется в плоскость  $xy$ .

Аналогичный анализ был проведен для большого числа функций  $b$ . Некоторые из графических результатов представлены на рис. 6–8.

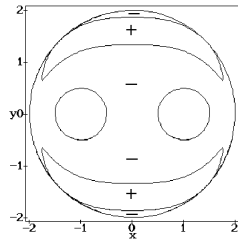


Рис. 6.  $z^2 + (x^2 + y^2 - 4)((x - 1)^2 + y^2 - \frac{1}{4})((x + 1)^2 + y^2 - \frac{1}{4}) = 0, \quad w - xyz = 0.$

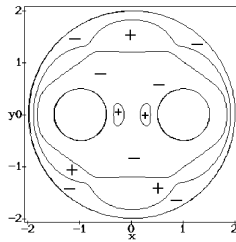


Рис. 7.  $z^2 + (x^2 + y^2 - 4)(\sqrt{(x - 1)^2 + y^2} - \frac{1}{2})(\sqrt{(x + 1)^2 + y^2} - \frac{1}{2}) = 0,$   
 $w - 5(x^2 - y^2)z^3 = 0.$

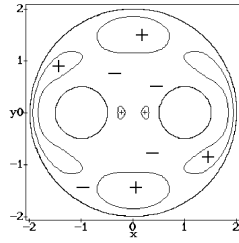


Рис. 8.  $z^2 + (\sqrt{x^2 + y^2} - 2)(\sqrt{(x-1)^2 + y^2} - \frac{1}{2})(\sqrt{(x+1)^2 + y^2} - \frac{1}{2}) = 0$ ,  
 $w - 5(x^2 - y^2)z^3 = 0$ .

Получение таких детальных картин поведения функции кривизны было бы совершенно невозможно без использования компьютера.

### Список литературы

- [1] T. Otsuki, A construction of closed surfaces of negative curvature in  $E^4$ . — *Math. J. Okayama University* (1954), v. 3, p. 95–108.
- [2] Э.Г. Розендорн, О полных поверхностях отрицательной кривизны  $K \leq -1$  в евклидовых пространствах  $E^3$  и  $E^4$ . — *Мат. сб.* (1962), т. 58, №. 4, с. 453–478.
- [3] Э.Г. Розендорн, Слабо нерегулярные поверхности отрицательной кривизны. — *Успехи мат. наук* (1966), т. XXI, вып. 5, с. 59–116.
- [4] Ю.А. Аминов, Выражение тензора Римана подмногообразия евклидова пространства, заданного системой уравнений. — *Мат. заметки* (1999), т. 66, № 1, с. 3–9.
- [5] Ю.А. Аминов, Геометрия векторного поля. Наука, Москва (1990).
- [6] Ю.А. Аминов, О двумерных метриках отрицательной кривизны. — *Укр. геом. сб.* (1973), вып. 13, с. 9–15.

- [7] Ю.А. Аминов, К проблеме Хопфа. — *Мат. заметки* (2000), т. 68, № 4, с. 637–640.
- [8] Ю.А. Аминов, Дифференциальная геометрия и топология кривых. Наука, Москва (1987).

### On the Gauss curvature of closed surfaces in $E^3$ and $E^4$

Yu.A. Aminov, V.A. Gorkavyu

New class of closed surfaces of arbitrary genus in  $E^3$  called  $p$ -symmetrons is introduced. Applying these surfaces closed regular surfaces in  $E^4$  are constructed. The behaviour of the Gauss curvature of constructed surfaces is studied by computer methods. It is considered the problem of the constructed of closed surfaces of genus 2 with negative Gauss curvature in  $E^4$  which have regular projection in  $E^3$ .

### Про гауссову кривину замкнених поверхонь в $E^3$ та $E^4$

Ю.А. Амінов, В.О. Горькавий

Вводиться новий клас замкнених поверхонь в  $E^3$  довільного роду, що називаються  $p$ -симетронами. За їх допомогою будуються замкнені регулярні поверхні в  $E^4$ . Комп'ютерними методами досліджується поведінка гауссової кривини побудованих поверхонь. Розглядається задача побудови замкненої поверхні роду 2 з від'ємною гауссовою кривиною в  $E^4$ , що має регулярну проєкцію на  $E^3$ .